

# ΥΠΟΛΟΓΙΣΜΟΣ ΚΑΙ ΑΞΙΟΛΟΓΗΣΗ ΤΩΝ ΥΔΡΑΥΛΙΚΩΝ ΠΑΡΑΜΕΤΡΩΝ ΔΥΟ ΥΔΡΟΦΟΡΩΝ ΣΥΣΤΗΜΑΤΩΝ ΣΕ ΔΙΑΦΟΡΕΤΙΚΟ ΙΖΗΜΑΤΟΓΕΝΕΣ ΠΕΡΙΒΑΛΛΟΝ ΣΤΗ ΜΑΖΑ ΤΗΣ ΡΟΔΟΠΗΣ\*

Χ. ΠΕΤΑΛΑΣ<sup>1</sup>, Σ. ΠΑΝΙΔΑΣ<sup>2</sup>, Ι. ΔΙΑΜΑΝΤΗΣ<sup>1</sup>, Φ. ΠΛΙΑΚΑΣ<sup>1</sup>

## ΣΥΝΟΨΗ

Στην εργασία αυτή υπολογίζονται και σχολιάζονται οι τιμές των υδραυλικών παραμέτρων  $T$  και  $S$  σε δύο υπόγειους υδροφορείς που δημιουργήθηκαν ο ένας σε περιβάλλον διακλαδιζόμενου ποταμού (υπό πίεση υδροφόρους) στο N. Ροδόπης (ανάμεσα στις λίμνες Ισμαρίδα και Βιστωνίδα) και ο άλλος σε λιμναίο (ελεύθερος υδροφόρους) στη λεκάνη Δράμας. Οι τιμές της ειδικής απόδοσης στον υδροφόρεα του N. Ροδόπης κυμαίνονται από 0.28 έως 33.3  $m^3/h/m$  και στον υδροφόρεα της Δράμας από 1.2 έως 10  $m^3/h/m$ . Οι τιμές των  $T$  και  $S$ , προσδιορίστηκαν από τα δεδομένα δοκιμαστικών αντλήσεων, χρησιμοποιώντας τρία προγράμματα H/Y, το SATEM που βασίζεται στην τροποποιημένη από τους Cooper and Jacob μέθοδο του Theis, και τα ANALYZE και THEISFIT που βασίζονται στην εξίσωση του Theis. Στο N. Ροδόπης η  $T$  κυμαίνεται από 99 έως 8613  $m^2/day$  και ο  $S$  από  $1.098 \times 10^{-3}$  έως  $9.935 \times 10^{-3}$ . Στη Δράμα η  $T$  κυμαίνεται από 95 έως 492  $m^2/day$  και ο  $S$  από  $1.4 \times 10^{-3}$  έως  $4 \times 10^{-4}$ . Οι τιμές  $T$  και  $s$  που εδωσαν τα 2 πρώτα προγράμματα στο N. Ροδόπης ωχεδόν ταυτίζονται ενώ στη λεκάνη της Δράμας παρουσιάζουν σημαντικότερες αποκλίσεις που αποδίδονται στο διαφορετικό περιβάλλον ιζηματογένεσης και στα επιμέρους χαρακτηριστικά του.

## SUMMARY

In this work, the hydraulic parameter values of two aquifer systems are estimated and discussed. One of the two aquifer systems is located in the coastal area of Rhodope Prefecture between Lakes Vistonis and Ismaris and the other in Drama basin. The Rhodope aquifer system is formed within paleo-alluvial deposits of Upper Miocene age of a braided river. The aquifer system of Drama basin is formed within lacustrine deposits of Quaternary age. Aquifer material in both systems derived from the same source of parent material, namely, the crystalline mass of Rhodope. Coarse-grained deposits consisted of sands and gravels predominate in Rhodope aquifer system. Braided river deposits appear to be the most coarse-grained ones in relation to any other type of alluvial depositional environment. The heterogeneity of the hydraulic properties controls the small scale varieties of groundwater velocities. Only fine-grained deposits can be recognized in Drama basin aquifer system. The lacustrine deposits are characterized by an upward-coarsening sequence and a simple offshore decrease in grain size. An abrupt transition from alluvial fan environment to offshore lacustrine facies is observed in the southern part of Drama basin. A high potential confined aquifer is formed in Rhodope area with a thickness up to 90 m and consists of one, two and usually three distinct beds which are in hydraulic communication. This aquifer system displays a variety of transmissivity values only in a small scale. Generally a narrow field of fluctuation concerning the transmissivity values is observed in this area. Based on data from 217 wells (mean depth 136 m) the specific yield values range from 0.28 to 33.3  $m^3/h/m$ . The respective values of specific yield for the Drama aquifer system ranges from 1.2 to 10  $m^3/h/m$ . The values of storage coefficient  $s$ , transmissivity  $T$  and hydraulic conductivity  $k$  have been determined through the evaluation of a considerable number (36) of pumping tests. One or more piezometers were used in all of the pumping tests. In order to determine the hydraulic parameter the following computer programs were used: 1. SATEM, 2. ANALYZE and 3. THEISFIT. SATEM is based on the Jacob's modification of the Theis method; meanwhile the other two are based on Theis equation. THEISFIT program make use of a statistical approach. In Rhodope aquifer system,  $T$  ranges from 99 to 8613  $m^2/day$ , with a mean value of 35  $m^2/day$ ,  $k$  ranges from 16 to 176  $m/day$ , with a mean value of 35  $m/day$  and storage coefficient  $s$  ranges from  $1.098 \times 10^{-3}$  to  $9.935 \times 10^{-3}$ , with a mean value of  $2.3 \times 10^{-3}$ . In Drama aquifer system

\* ESTIMATION AND EVALUATION OF HYDRAULIC PARAMETERS OF TWO AQUIFER SYSTEMS FORMED IN DIFFERENT SEDIMENTARY ENVIRONMENTS WITHIN THE RHODOPE MASS

1. Δημιούργειο Πανεπιστήμιο Θερμοπελίου Δράμας, Λεωφόρος Αγρινίου 10, 52100 Δράμα, Ελλάς, Επίκουρη Καθηγήστριας Μηχανικής

2. Δ.Ε.Η Δ/νον Αιγαίντων Ερευνών, Κλαματο επτάλεσης Γεωφερεντικών Έργων, 66100 Δράμα

transmissivity ranges from 95 to 492 m<sup>2</sup>/day, storage coefficient from 3x10<sup>-3</sup> to 4x10<sup>-3</sup>. The values of T and S in the Rhodope system as determined by using SATEM and ANALYZE are almost identical, meanwhile the respective values determined by using THEISFIT differ considerably from the previous ones. In Drama aquifer system values of transmissivity and storage coefficient as determined by using the three computer programs display potential differences among them. The different values can be attributed to the environment of deposition of aquifers material (e.g. characteristics of geometry, aquifer type, lithological and facies patterns, and size distribution of aquifer material). The small scale heterogeneity in Rhodope aquifer system does not affect the large scale values of transmissivity and storage coefficient and the aquifer behaves like an almost homogeneous medium. The Drama aquifer system is characterized by large scale vertical heterogeneity which affects seriously the range of transmissivity and storage coefficient values as determined by using different methods. In the last occasion, it became apparent that often it is extremely difficult to have reliable estimates of the hydraulic parameter values, whenever classical methods based on theoretical curves are used. The accurate evaluation of the hydraulic parameters play an important role in constructing groundwater models (e.g. flow, mass transport or management models) simulating the behavior of groundwater systems.

**ΑΞΕΣ ΚΛΕΙΔΙΑ:** Υδραυλικές παράμετροι, ιεραιτογενές περιβάλλον, δοξιματικές αντλήσεις

**KEY WORDS:** hydraulic parameters, sedimentary environment, pumping tests

## I. ΕΙΣΑΓΩΓΗ

Το πορώδες, η υδραυλική αγωγημότητα και τα μέτρα ελαστικότητας είναι οι πιο θεμελιώδεις φυσικές ιδιότητες των πορώδων γεωλογικών ύλων για την εκτίμηση των σπελεοτικών παραμορφώσεων και των γενικών στατιστικών παραμέτρων των πορώδων ύλων (Houston and Kasim, 1982). Γενικά οι ιδιότητες των πορώδων ύλων προσδιορίζονται από ολοκληρωμένα προγράμματα δοξιμών εργαστηρίου, δοξιμών πεδίου και επίλινη του αντιστρόφου προβίληματος μέσο μιας αριθμητικής μεθόδου ικανής να προσδομούσει τις οριακές συνθήσεις που χρησιμοποιούνται στις δοκιμές πεδίου. Στην πράξη συνήθως προσεγγίζονται παράμετροι όπως η υδραυλική αγωγημότητα k, η μεταβιβαστικότητα T και ο συντελεστής υδροχωρητικότητας S. Η υδραυλική αγωγημότητα k είναι μία από τις πιο σημαντικές ιδιότητες ενός πορώδους ύλου, επειδή ελέγχει το ρυθμό της σινητής του νερού μέσω του ύλου και είναι για το λόγο αυτό θεμελιώδης σημασίας για την επίλινη των προβίλημάτων γονής των ψευτών. Οι ενεργείας κλίμακας δοξιματικές αντλήσεις με γεωτρήσεις παρατηρητικής αποτελούν την πιο αποτελεσματική μέθοδο για την απόζητη αξιόπιστων τιμών των υδραυλικών χαρακτηριστικών των γεωλογικών σχηματισμών μέσω των οποίων κινείται το υπόγειο νερό. Το πλαίσιο για τη σωτήρι διενέργεια των δοξιματικών αντλήσεων και οι μέθοδοι αξιολόγησής τους δίνονται λεπτομερώς από τους Driscoll (1986) και Kruseman et. al. (1992). Στην εργασία αυτή υπολογίστηκαν οι υδραυλικές παράμετροι μέσο της εκτέλεσης δοξιματικών αντλήσεων με τη χοήση πιεζομέτρων σε δύο διμιουργήθηκαν σε διαφορετικό



Σχήμα 1. Χάρτης με τις θέσεις των υπόγειων υδροφόρων συστημάτων της Λεκάνης Δράμας και της παράκτιας

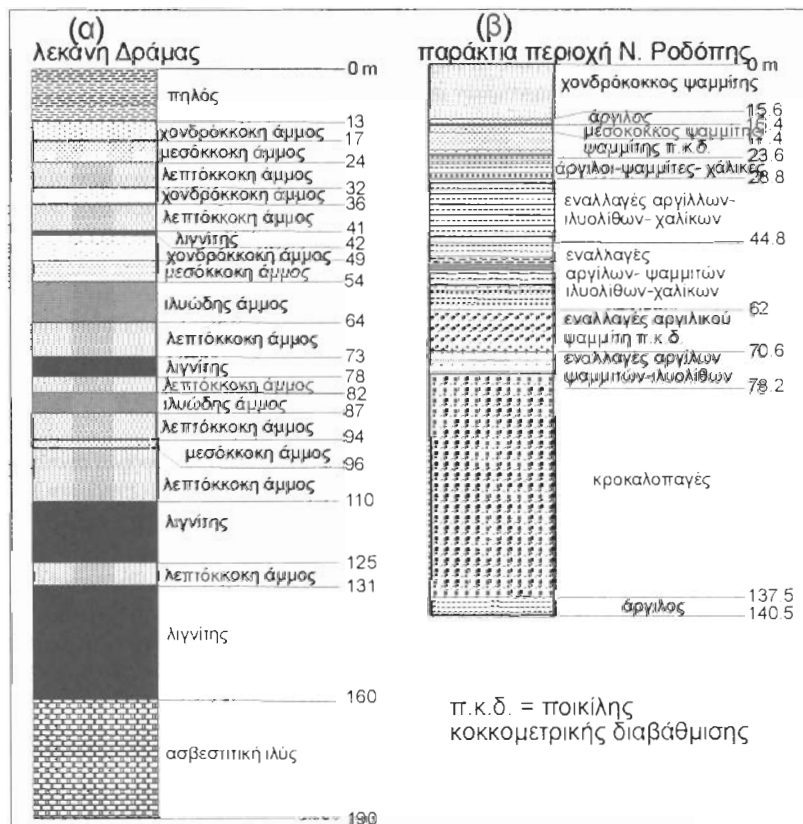
ψηφιακή βιβλιοθήκη "Θεόφραστος" - Τμήμα Γεωλογίας, Α.Π.Θ  
Figure 1. Map displaying the locations of the Drama aquifer system and coastal Rhodope aquifer system.

ιζηματογενές περιβάλλον με κοινή ούμως πηγή προέλευσης του υλικού την ορεινή μέσα της Ροδόπης και που εντοπίζονται στο παράκτιο τμήμα N. Ροδόπης και στη λεπάνη Δράμας (σχήμα 1). Ο ορθός υπολογισμός των υδραντίων παραμέτρων των υπόγειων υδροφόρων μισθιμάτων παίζει καθοριστικό ρόλο στη σύνταξη μοντέλων διαχείρισης και ιδιαίτερα στην καλύτερη προσδομιστική των υπόγειων φυσικών μισθιμάτων.

## 2. ΙΖΗΜΑΤΟΓΕΝΕΣ ΠΕΡΙΒΑΛΛΟΝ

### Παράκτιο τμήμα του N. Ροδόπης

Στην παράκτια περιοχή του N. Ροδόπης, που βρίσκεται ανάψευσα στις λίμνες Ισμαϊδία και Βιστονίδα, απαντούν ομιαντικού πάχους άλλοι βιβιακές αποθέσεις ανθρακικανής ήλικιας με ούποτα ως από χονδρόκοκκα υλικά. Άμμους, χαλίκια και προσάλες που αποτελούνται στο ιζηματογενές περιβάλλον ενός διακλαδιζόμενού τύπου ποταμού (braided river). Τα ιζηματογενές αυτό περιβάλλον περιγράφεται λεπτομερώς από τον Πετάλα (1997). Οι διακλαδιζόμενοι ποταμοί χαρακτηρίζονται από μια σειρά αβαθών και ομιαντικών εύρους ποτάμιων κοίτων και φραγμών (bars). Το μέγεθος των άλλοι βιβιακών υλικών μπορεί να είναι μεγαλύτερο των 20 επ τε διάμετρο, άλλα το μέσο μέγεθος κατανέμεται στο πεδίο των 2 έως 64 μπ με ταξινόμηση που πουκάνε. Οι διακλαδιζόμενοι ποταμοί περιουσιάζουν (Miall, 1977) υψηλή τιμή της σχέσης εύρος/βάθος που ξεπερνά την τιμή 300, με απότομη επικλινή επιφάνεια και χαρηλές εγκοπλώσεις, ενώ εμφανίζονται ταχέως μετατοπιζόμενες κοίτες και ενδοκοίτιοι φραγμοί. Το χαρακτηριστικό τους είναι ότι οι αποθέσεις τους είναι πιο χονδρόκοκκες από οποιονδήποτε άλλο ποτάμιο τύπο με κυριαρχία της άμμου και των προσαλάν. Η χαρακτηριστική επεργένεται των υδραντίων ιδιοτήτων ελέγχει κυρίως τη μικρής κλίμακας ποικιλία των ταχυτήτων του υπόγειου νερού μέσο των γεωλογικών υλικών. Στο περιβάλλον αυτό το κυλιόμενο φορτίο υλικών (bedload) είναι μεγαλύτερο



Σχήμα 2.(a) Αντιπροσωπευτική τομή γεώτρησης στη λεκάνη της Δράμας. (β). Αντιπροσωπευτική τομή γεώτρησης στην παράκτια περιοχή του N. Ροδόπης.

Figure 2.(a) Representative well section from the Drama basin. (b), Representative well section from the Rhodope coastal area.

του 11% των συνόλου των ιζημάτων. Η απόθεση αλλουβιακών υλικών προκαλείται κυρίως από τη μείωση της μεταφορικής ικανότητας, η οποία με τη σειρά της ελέγχεται από παράγοντες όπως η άλιση και το εύρος του υδατορρεύματος, η μείωση της ταχύτητας φοής και οι απώλειες της φοής μέσω διηθήσεων. Αντιπροσωπευτική τομή γεώτρησης στο ιζηματογενές αυτό περιβάλλον αυτό δίνεται στο σχήμα 2β.

### Πεδινό τμήμα λεκάνης Δράμας

Στη λεκάνη της Δράμας τα ρήγματα των κρασπέδων στα νότια περιθώρια της δημιουργούν κατά το Ανώτερο Πλεισταίνο συνθήκες ευνοϊκές για την απόθεση λιμναίων ιζημάτων (ασβετιτική ίλυς ή γκυάτια-μακροσκοπικοί και χωρίς ιστό λιμναίοι σχηματισμοί αποτελούμενοι από οργανικά κατάλοιπα και συγκρίματα διαφρόων προελεύσεων (Μελιδώνης, 1966). Πρόκειται για ένα τυπικό λιμναίο περιβάλλον (Picard and High, Jr, 1981) το οποίο αναπτύσσεται από το Μέσο Πλεισταίνο έως το Ολόκαινο. Η επεξεργασία των δεδομένων από σημαντικό αριθμό κοκκομετρικών αναλύσεων (Πανίδας και Καλλέργης, 1997) δείχνει μείωση του μεγέθους των υλικών από την περιφέρεια προς το κεντρικό τμήμα της λεκάνης όπως και μια κατακόρυφη διαβάθμιση από λεπτόκοκκες προς πιο αδρόκοκκες φάσεις από κάποια προς τα πάνω. Η κατακόρυφη αυτή διατάξη των υλικών χαρακτηρίζει την ιδανική ακολουθία των λιμναίων αποθέσεων (Visher, 1965). Τα σημαντικού πάχους ιζήματα καλύπτουν όλο το ανάπτυγμα του πεδινού τμήματος.

Το λιμναίο περιβάλλον της περιοχής περιλαμβάνει κατά πάσα πιθανότητα περισσότερους από ένα κύκλους δημιουργίας και πλήρωσης της λίμνης. Επίσης μέρος από τα αδρομερέστερα υλικά στο ανώτερο στρώμα αναπαριστούν τη βαθμαία μετάβαση σε ένα περιβάλλον ποτάμιου πεδίου καθώς η λίμνη πληρούται με υλικά. Το πρότυπο των φάσεων αλλάζει επαναλαμβανόμενα προκαλώντας φαγδαίες επαναδιευθετήσεις της κοκκομετρικής διαβάθμισης. Στα περιθώρια της λίμνης (ιδιαίτερα στο νότιο τμήμα της λεκάνης και πλησίον των παρυφών του Παγγαίου και Μενοίκιου είναι χαρακτηριστική η απότομη μετάβαση από αιγαίνως λιμναία σε αλλούβιακά ιζήματα σημαντικού πάχους (αλλούβιακά οιπίδια) εξαιτίας της μεγαλύτερης συνίζησης που επικράτησε στο τμήμα αυτό της λεκάνης. Οι δύο αυτοί τύποι ιζημάτων “συγρράπονται” πλευρικά. Η επικράτηση κατά το Μέσο Πλειστόκαινο τελματικών συνθηκών στη λεκάνη της Δράμας, ευνοεί το σχηματισμό οργανικών ιζημάτων (τύρφη-λιγνίτης) σ' όλο το ανάπτυγμα της και με πάχη που αυξάνονται βαθμιαία από τα δυτικά προς ανατολικά (έως 160 m), δημιουργώντας το λιγνιτικό κοίτασμα της Δράμας (Μπρούσοντλης et.al 1991) και το κοίτασμα της τύρφης-λιγνίτη των Φιλίππων ανατολικότερα. Στους βορειοδυτικούς και κεντρικούς τομείς, όπου οι συνθήκες δεν ευνόησαν το σχηματισμό λιγνιτικών στρωμάτων, παρατηρείται σταδιακή αύξηση του πάχους των λεπτομερών χαλαρών κλαστικών υλικών από μεσόκοκκες έως λεπτόκοκκες άμμους με συνδετικό αισθετικό υλικό. Η διαδικασία της απόθεσης τους έλαβε χώρα σε ήρεμο περιβάλλον απόθεσης που δεν διαταράσσεται από κάποια τεκτονική δραστηριότητα καθόλη την περίοδο από το Μέσο Πλειστόκαινο έως το Ολόκαινο. Αντιπροσωπευτική τομή γεώτρησης στο ιζηματογενές αυτό περιβάλλον δίνεται στο σχήμα 2α.

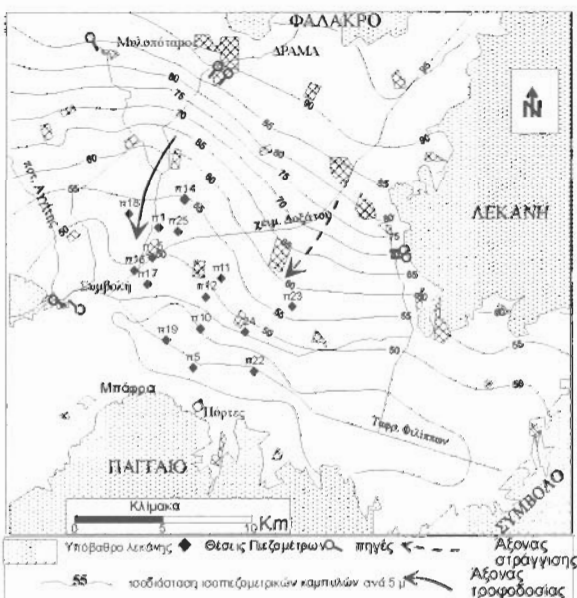
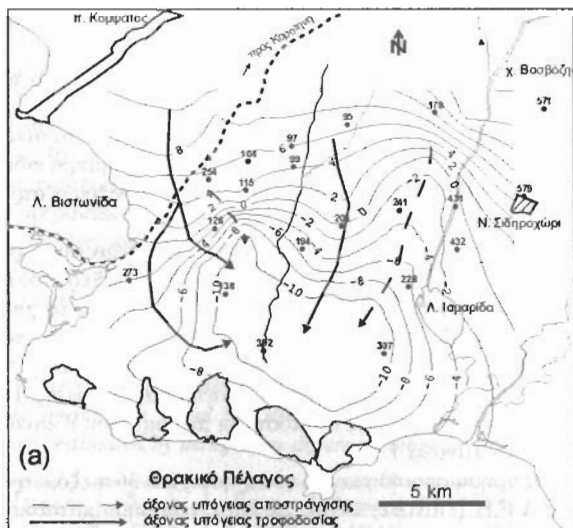
## 3. ΥΔΡΟΓΕΩΛΟΓΙΚΑ ΣΤΟΙΧΕΙΑ

### Υδροφορία των περιοχών

Αετοπορής περιγραφή των υδρογεωλογικών χαρακτηριστικών των υπόγειων υδροφόρων συστημάτων για τις δύο περιοχές δίνεται από τους Πεταλά (1997), Πεταλά και Διαμικαντή (1994,) Σταματάκη η.ά. (1992), και Πανίδα (1998).

### Παράκτιο τμήμα N. Ροδόπης

Η υδροφορία των χονδρόκοκκων υλικών μέσα στις αποθέσεις του τμήματος ανάμεσα στις λίμνες Ιομαρίδα και Βιστωνίδα φέρει “αποτυπωμένα” τα αποτελέσματα “ελέγχου” στα χαρακτηριστικά των υλικών που δομούν το υδροφόρο σύστημα και στην υδραυλική αγωγιμότητά τους του μοντέλου της απόθεσης του “διακλιδιζόμενου” ποταμού. Μέσα στα χονδρόκοκκα αυτά υλικά σχηματίζεται ένας πολύ σημαντικός υδροφόρος οριζόντες υπό πίεση, ο οποίος στη βάση του αλλά και πλευρικά οριοθετείται από την παρουσία της μειοκανικής γκριζοπρασίας αργίλου. Ο κύριος όγκος του αποτελείται από ένα και συνήθως δύο και τρία στρώματα σημαντικού πάχους και σε υδραυλική επικοινωνία μεταξύ τους. Σε μικρή κλίμακα χαρακτηρίζονται από μεγάλη ποικιλία στην υδραυλική αγωγιμότητα όπου ιδιαίτερο ρόλο παίζει η παρουσία διασταυρούμενων στρώσεων. Οι γεωτρήσεις διέτρησαν υδροφόρα στρώματα πάχους μέχρι και 90 m. Η στατιστική επεξεργασία των δεδομένων 217 γεωτρήσεων (μέσου βάθους 136 m) έδωσε μέση ειδική απόδοση των γεωτρήσεων  $6.3 \text{ m}^3/\text{h/m}$  με πεδίο τιμών από 0.28 έως 33.3  $\text{m}^3/\text{h/m}$ . Στο σχήμα 3α εμφανίζεται ο πιεζοχρυσικός χάρτης του έτους 1992 (31 Μαρτίου) που βασίζεται στα δεδομένα 80 γεωπρήσεων με τους κύριους άξονες αποστράγγισης και τροφοδοσίας. Ο χάρτης αυτός φανερώνει αξιόλογα υδραυλικά χαρακτηριστικά όπως η Βιρβιώδης ή Θεοφράστος ή Τριπόλεων περιήγησης. Από τις 217 τιμές σε μεγάλο τμήμα της περιοχής.



**Σχήμα 3.(α) Πιεζομετρικός χάρτης 31<sup>ης</sup> Μαρτίου 1992 των υπόγειων υδροφόρου συστήματος παράκτιας περιοχής N. Ροδόπης. (β) Πιεζομετρικός χάρτης των υπόγειων υδροφόρου συστήματος της λεκάνης Δράμας.**

Figure 3.(a) Piezometric map of the Rhodope coastal aquifer system (March 1992). (b) Piezometric map of the quaternary aquifer system of the Drama basin.

#### Πεδινό λεκάνης Δράμας

Στις Τεταρτογενείς αποθέσεις της λεκάνης Δράμας που υπέρχεινται των αδιαπέρατων λιγνιτικών στρωμάτων αναπτύσσεται ένας εκτεταμένος ελεύθερος υδροφόρος ορίζοντας με μέγιστο πάχος τα 120 m. Η υδροφορία αναπτύσσεται μέσα σε μεσόκοκκα έως λεπτόκοκκα υλικά χαρακτηριστικό το ήρεμου περιβάλλοντος απόθεσης που έλαβε χώρα κατά το Τεταρτογενές. Η επεξεργασία των αντλητικών δεδομένων (Πεινιλας και Καλλέργης, 1997) έδωσε μικρή ειδική απόδοση των γεωτρήσεων (από 1.2 έως 4.9 m<sup>3</sup>/h/m). Η τριχοτόμηση του υδροφορέα προς το νότιο τμήμα λόγω της παρεμβολής δύο μικρών λιγνιτικών στρωμάτων δημιουργεί δύο υδροφόρους ορίζοντες περιορισμένης Ψηφιακή Βιβλιοθήκη! Θεάφραστος! Πτυμάνια Γεωλογία! Απίθανος χάρτης (σχήμα 3β) που βασίζεται στα δεδομένα 94 γεωτρήσεων φανερώνει ότι ο υδροφόρος ορίζοντας παρουσιάζει ακτινωτή μορφή

με συγκλίνουσες και αποκλίνουσες γραμμές ροής και με αποστάσεις των ισοπεζόμετρικών καμπυλών να ανέχουν προς τα χαμηλά την πεδιάδας.

Η πλευρική τροφοδοσία των καρστικών νερών που συντελείται στο νότιο τμήμα της λεκάνης (παραγγές ορεών Παραγάνου και Μενοίσιου) μέσω των αλλοιωτικών φιτιδίων, δημιουργούν ομηραντική υδροφορία (5 έως 10 m<sup>3</sup>/h/m) περιορισμένης όμως έκτασης λόγω της πλευρικής συρραφής με τα αιδιαστέατα λιγνιτικά στρώματα της πεδιάδας της Δράμας. Ο υδροφορέας στο τμήμα αυτό παρουσιάζει μερική ειδική απόδοση από 0.7 έως 1.2 m<sup>3</sup>/h/m όταν μεταπίπτει σε αρτεσιανό εξατίας της παρουσίας των λιγνιτικών στρώμάτων.

#### Δοκιμαστικές αντλήσεις

Ο συντελεστής εναποθήκευσης S μετά με τη μεταβιβασιτόητη T και την υδραλική αγωγιμότητα k, είναι οι τιμές παραμέτροι των οποίων προσδιογόντηκαν οι τιμές μέσο της επεξεργασίας δεδομένων από ομηραντικό αριθμό δοκιμαστικών αντλήσεων. Οι τιμές αυτές χρησιμοποιήθηκαν για το χαρακτηρισμό της υδραλικής συμπεριφοράς των υδροφόρων οριζόντων στις δύο περιοχές έρευνας. Ο υπολογισμός των υδραλικών παραμέτρων για το τμήμα ανάμεσα στις λίμνες Ισμαϊδά και Βιστωνίδα, βασίσθηκε στην αξιοποίηση δεδομένων από 20 δοκιμαστικές αντλήσεις με τη χρησιμοποίηση γεωτρήσεων παρατήρησης. Τα πρωτογενή στοιχεία αυτών δύος παροχής άντλησης Q, διάρκεια άντλησης t, απόταση πεζόμετρου r καθώς και τα εποτελέσματα της επεξεργασίας τους δίνονται στον Πίνακα 1.

Για τη λεκάνη της Δράμας χρησιμοποιήθηκαν 16 γεωτρήσεις και 36 πεζόμετρα που κατασκευάστηκαν στο πλαίσιο προγράμματος της Δ.Ε.Η (Πανίδας 1998). Σε κάθε γεώτρηση κατασκευάστηκαν δυο έως τέσσερα δομυφροικά πιεζόμετρα. Η διάταξη των πιεζόμετρων και η απόσταση τους καθορίστηκε με βάση τα υδρολιθολογικά χαρακτηριστικά των υδροφόρων στρώμάτων. Η διάταξη των φύλαξησιολήνων και το βάθος των πιεζόμετρων ήταν ίδια με αυτή των γεωτρήσεων. Όλες οι γεωτρήσεις θεωρήθηκαν πλήρεις καθώς διαπέργασαν το σπεγανό δίπεδο των υδροφόρων. Τα αποτελέσματα της επεξεργασίας των αντλήσικών δεδομένων δίνονται στον Πίνακα 2.

## 4. ΑΞΙΟΛΟΓΗΣΗ ΤΩΝ ΑΠΟΤΕΛΕΣΜΑΤΩΝ

Για την ανάλυση των αποτελεσμάτων των αντλήσεων των δύο περιοχών με τη χρήση πιεζόμετρων και τον υπολογισμό των παραμέτρων T και S χρησιμοποιήθηκαν τρία προγράμματα H/Y:

1. Το πρόγραμμα H/Y *SATEM* (Boonstra, 1994) και ιδιαίτερα η υπορουτίνα *JACOB* που βασίζεται στην τροποποιημένη από τους Cooper and Jacob (1946) μέθοδο του Theis (1935). Η ανάλυση με το πρόγραμμα *JACOB* βασίζεται μόνο στο ευθύγραμμο τμήμα της καμπύλης χρόνου/πτώσης στάθμης και η εφαρμογή του εξαρτάται από την παρουσία ή μη αυτού του ευθύγραμμο τμήματος. Η μέθοδος αυτή διέπεται από περιοριστικός όρους δύσως: α) η αντλούμενη γεώτρηση διαπερνά όλο το πάχος του υδροφόρεα και β) ο χρόνος άντλησης είναι επαρκής ώστε ένα ευθύγραμμο τμήμα να είναι ορατό στην καμπύλη χρόνου/πτώσης στάθμης. Η όλη διαδικασία και οι υποθέσεις στις οποίες βασίζεται δίνονται αναλυτικά από τον Boonstra (1994) στο κεφάλαιο 4.
2. Το πρόγραμμα H.Y. *ANALYSE* (Clarke, 1988.) το οποίο βασίζεται στην εξίσωση του Theis (1935) και ο υπολογισμός των παραμέτρων γίνεται μέσω γραμμικής συσχέτισης του επιλεγμένου τμήματος του ημιλογιακού διαγράμματος χρόνου/πτώσης στάθμης.
3. Η υπορουτίνα του *ANALYSE H/Y THEISFIT*, (McElwee, 1980) που επιτρέπει τον υπολογισμό των T και S με το μικρότερο δυνατό σφάλμα (root square error), στηρζόμενο στην καλύτερη σύμπτωση (fit) οταντοτικά (μετά από συνεχείς επαναλήψεις) μιας καμπύλης τύπου Theis με το επιλεγμένο τμήμα της καμπύλης των πραγματικών μετρήσεων χρόνου/πτώσης στάθμης.

Τα δύο τελευταία προγράμματα παρέχουν τη δυνατότητα εξαίρεσης των εκτός των ορίων σημείων.

Τα αποτελέσματα που προέκυψαν από την εφαρμογή των ανωτέρω προγραμμάτων εμφανίζονται στους Πίνακες 1 και 2. Συγχρίνονται τις τιμές των T και S προκύπτων τα παρακάτω:

- 1) Για την περιοχή μεταξύ των λιμνών Ισμαϊδά και Βιστωνίδα οι τιμές T και S από τα προγράμματα *JACOB* και *ANALYZE* σχεδόν ταυτίζονται ή είναι παραπλήσιες. Μια σημαντική διαφοροποίηση παρατηρείται στις τιμές T και S που προέκυψαν από το πρόγραμμα *THEISFIT*. Οι τιμές του T είναι συνήθως μικρότερες απ' ότι στις δύο προηγούμενα προγράμματα, ενώ σε ορισμένες περιπτώσεις παρουσιάζεται και μια διαφοροποίηση ως προς την τάξη μεγέθους του S. Γενικά θα πρέπει να αναφερθεί ότι ένας αριθμός από αιτίες (Boonstra, 1989) συντελεί ώστε οι καμπύλες χρόνου-πτώσης στάθμης να αποκλίνουν από τις θεωρητικές. Η επιφορή γνώσης επομένως των γεωλογικών συνθηκών στη θέση της δοκιμαστικής άντλησης είναι ζωτικής ομαλίας για την ορθή ανάλυση των πληροφοριών. Ειδικότερα στην περιοχή η T κυμαίνεται από 99 έως 8613 m<sup>3</sup>/Ψηφιακή Βιβλιοθήκη<sup>18</sup> Θεόφραστος<sup>19</sup> Κ. Τμήμα Γεωλογίας<sup>20</sup> Α.Π.Θ 76 m/day, ενώ η μέση τιμή της είναι 35 m<sup>3</sup>/day. Η υδροφορία της περιοχής χαρακτηρίζεται σύμφωνα με την ταξινόμηση του U.S. Bu-

reas of Reclamation (1977) από μεγάλη υδροπεριφορά (τιμές  $10^8 < K < 10^9$ ). Οι τιμές της μεταβιβαστικότητας T των υδροφόρου συστήματος είναι μεγαλύτερες της τιμής 0.015 m<sup>2</sup>/sec και χαρακτηρίζουν σύμφωνα με τον Καλλέργη (1986) καλούς υδροφόρους που προσφέρονται για επιμετάλλευση. Οι τιμές του συντελεστή υδροχωρητικότητας S κυμαίνονται από  $1.098 \cdot 10^{-5}$  έως  $9.935 \cdot 10^{-3}$ , με μέση τιμή  $2.3 \cdot 10^{-3}$ . Δεδομένου ότι οι τιμές της τιμής του συντελεστή υδροχωρητικότητας S είναι για τους υπό πίεση υδροφόρους (Driscoll, 1986) από  $10^{-5}$  έως  $10^{-3}$ , είναι φανερό ότι η υδροφορία εδώ δύον αφορά τον S χαρακτηρίζεται από τιμές που προσεγγίζουν τα ανώτερα όρια των πεδίων αυτών. Τα στοιχεία αυτά έρχονται να επιβεβαιώσουν τα συμπεράσματα που αναφέρονται στα υδροεύλακά χαρακτηριστικά των υδροφόρων της περιοχής και τα οποία προέκυψαν από τη μελέτη της υδροχημείας των υπόγειων νερών (χαρακτηριστική κατανομή της ηλεκτροτηγής αγωγιμότητας και του SiO<sub>2</sub>), τα ίχνη αλογοκά χαρακτηριστικά των υλακών που φιλοξενούν την υδροφορία και τις μακρόχρονες παρατηρήσεις της πορείας της πιεζομετρικής στάθμης (Πεταλίδη, 1997).

### **Πίνακας 1. Τιμές των υδραυλικών παραμέτρων T και s στην παράκτια περιοχή των N. Ροδόπης μεταξύ των λιμνών Vistonis και Ismarīs, και Biostavničas που προέκυψαν με τη χρήση τριών προγραμμάτων H/Y.**

**Table 1. Values of hydraulic parameters T and S in the coastal Rhodope area between Lakes Vistonis and Iσmarīs, estimated by using three different computer programs.**

| A/Γ  | T <sub>Jacob</sub> | T <sub>Theis</sub> | T <sub>Theis-Fit</sub> | S <sub>Jacob</sub>  | S <sub>Theis</sub>    | S <sub>Theis-Fit</sub> | Q (m <sup>3</sup> /day) | t (min) | r (m) | σφάλμα |
|------|--------------------|--------------------|------------------------|---------------------|-----------------------|------------------------|-------------------------|---------|-------|--------|
| P203 | 2411               | 2426               | 1746                   | $5 \cdot 10^{-3}$   | $4.72 \cdot 10^{-3}$  | $7.45 \cdot 10^{-3}$   | 1920                    | 1980    | 349.3 | 0.004  |
| P571 | 433                | 433                | 429                    | $9.8 \cdot 10^{-4}$ | $1.184 \cdot 10^{-3}$ | $1.03 \cdot 10^{-3}$   | 1357                    | 180     | 13.5  | 0.038  |
| P431 | 1578               | 1582               | 1532                   | $2.9 \cdot 10^{-2}$ | $3.07 \cdot 10^{-2}$  | $3.28 \cdot 10^{-2}$   | 840                     | 700     | 19.2  | 0.034  |
| P138 | 116                | 116                | 62                     | $1.3 \cdot 10^{-4}$ | $1.28 \cdot 10^{-4}$  | $1.92 \cdot 10^{-4}$   | 1680                    | 450     | 322.0 | 0.027  |
| P241 | 5517               | 5516               | 4303                   | $2 \cdot 10^{-3}$   | $1.85 \cdot 10^{-3}$  | $2.86 \cdot 10^{-3}$   | 1920                    | 420     | 334.5 | 0.002  |
| P115 | 3087               | 3087               | 2252                   | $1.9 \cdot 10^{-3}$ | $1.65 \cdot 10^{-3}$  | $2.65 \cdot 10^{-3}$   | 3216                    | 480     | 363.5 | 0.003  |
| P104 | 452                | 452                | 450                    | $3 \cdot 10^{-3}$   | $3.7 \cdot 10^{-3}$   | $2.87 \cdot 10^{-3}$   | 2160                    | 820     | 12.4  | 0.049  |
| P95  | 99                 | 99                 | 86                     | $8.9 \cdot 10^{-3}$ | $8.61 \cdot 10^{-3}$  | $1.14 \cdot 10^{-2}$   | 2016                    | 347     | 19.3  | 0.047  |
| P178 | 271                | 271                | 240                    | $2.3 \cdot 10^{-3}$ | $2.08 \cdot 10^{-3}$  | $3.43 \cdot 10^{-3}$   | 1680                    | 900     | 20.0  | 0.003  |
| P97  | 1604               | 1603               | 984                    | $4.9 \cdot 10^{-3}$ | $4.68 \cdot 10^{-3}$  | $7.15 \cdot 10^{-3}$   | 2148                    | 480     | 187.4 | 0.004  |
| P579 | 231                | 229                | 139                    | $7.9 \cdot 10^{-5}$ | $7.04 \cdot 10^{-4}$  | $1.29 \cdot 10^{-4}$   | 2016                    | 390     | 389.6 | 0.019  |
| P99  | 8615               | 8613               | 7342                   | $1.5 \cdot 10^{-3}$ | $1.16 \cdot 10^{-3}$  | $1.98 \cdot 10^{-3}$   | 2928                    | 480     | 437.0 | 0.002  |
| P126 | 6527               | 6728               | 3845                   | $1.9 \cdot 10^{-3}$ | $1.16 \cdot 10^{-3}$  | $3.52 \cdot 10^{-3}$   | 2898                    | 570     | 433.0 | 0.005  |
| P254 | 213.7              | 214                | 202                    | $9.1 \cdot 10^{-3}$ | $8.57 \cdot 10^{-3}$  | $10.69 \cdot 10^{-2}$  | 1984                    | 420     | 16.5  | 0.041  |
| P432 | 2017               | 2010               | 1086                   | $1.2 \cdot 10^{-3}$ | $1.20 \cdot 10^{-3}$  | $1.71 \cdot 10^{-3}$   | 1080                    | 420     | 431.0 | 0.002  |
| P194 | 1389               | 1394               | 640                    | $4.9 \cdot 10^{-4}$ | $3.88 \cdot 10^{-4}$  | $7.93 \cdot 10^{-4}$   | 6780                    | 480     | 480.0 | 0.007  |
| P392 | 1890               | 1890               | 1469                   | $8.2 \cdot 10^{-4}$ | $7.14 \cdot 10^{-4}$  | $1.19 \cdot 10^{-3}$   | 2160                    | 490     | 327.0 | 0.005  |
| P228 | 130                | 130                | 119                    | $5.6 \cdot 10^{-4}$ | $4.93 \cdot 10^{-4}$  | $7.36 \cdot 10^{-4}$   | 1440                    | 300     | 19.2  | 0.001  |
| P273 | 293                | 293                | 156                    | $1.8 \cdot 10^{-4}$ | $1.94 \cdot 10^{-4}$  | $3 \cdot 10^{-4}$      | 2580                    | 480     | 473.0 | 0.025  |
| P307 | 1043               | 1043               | 707                    | $1.3 \cdot 10^{-4}$ | $1.08 \cdot 10^{-4}$  | $2.29 \cdot 10^{-4}$   | 936                     | 300     | 400.0 | 0.003  |

- 2) Για τον υδροφόρεα των τεταρτογενών αποθέσεων της λεκάνης Δράμας παρατηρούμε ότι οι τιμές των T και S που προέκυψαν από τα τρία προγράμματα παρουσιάζουν σε κάθε πειζόμετρο σημαντικότερες αποκλίσεις. Μιζούτερες αποκλίσεις παρουσιάζουν οι γεωτρήσεις στα όρια της περιοχής οι οποίες εντοπίζονται σε τημήματα του υδροφόρεα που δομούνται από πιο αδρόσκοκα υλικά. Οι τρεις διαφορετικές μέθοδοι που χρησιμοποιήθηκαν εδώ για τον υπολογισμό των υδραυλικών παραμέτρων έδωσαν και διαφορετικές τιμές η κάθε μια. Αυτό έρχεται σε συμφωνία με την αναφορά των Freeze και Cherry (1979), περί της μη μοναδικότητας της εργασίες των δομικωπατικών αντλήσεων, διότι πολλές φορές η ταύτιση της πειζόμετρικής κερκυτήσης με τη θεωρητική δεν σημαίνει ότι ο υδροφόρος επλήρωνει τις προϋποθέσεις στις οποίες βασίζεται η χαρακτηριστική πρότυπης καμπύλης. Οι αποκλίσεις των τιμών των παραμέτρων στοιχειωτικού τημήματος της πεδιάδας Δράμας αυξάνονται με τη μείωση του μεγέθους των υλικών των υδροφόρων στοιχμάτων. Οι τιμές της μεταβιβαστικότητας στο κεντρικό τημήμα της λεκάνης λαμβάνει χαρακτηριστικές τιμές T από 95 έως 172 m<sup>3</sup>/day που αποδίδονται στην επικράτηση λεπτομετρών υλικών. Ο στοιχειωτικός υδροφορητικότητας S κυμαίνεται από  $1.4 \times 10^{-3}$  έως  $4 \times 10^{-4}$ . Υψηλότερες τιμές της T που κυμαίνονται από 173 έως 492 m<sup>3</sup>/day παρατηρούνται στα περιθώρια της λεκάνης. Ο στοιχειωτικός υδροφορητικότητας S στο ίδιο τημήμα του υδροφόρου αλλάζεται από  $3 \times 10^{-4}$  έως  $3.0 \times 10^{-3}$  ψηφίακη Βιβλιόθηκην "Θεοφάραστος" ΨΤΗΜΗΣ ΓΕΩΛΟΓΙΑΣ Α.Π.Θ. στην περιοχή της λεκάνης. Η αύξηση αυτή των τιμών συνδέεται με τις αυξανόμενες πάχη των υδροπεριφορών σχηματισμών στην

περιοχή αυτή αλλά και με την αίσχηση της παρουσίας πιο αδρόκοκκων υλικών. Ο υδροφόρος που υπόκειται των αδιαπέραστων λιγνιτικών στρωμάτων και περιορίζεται στο νότιο τμήμα της λεκάνης λαμβάνει τιμές μεταβιβαστικότητας  $T$  από 26 έως  $95 \text{ m}^2/\text{day}$  και τιμές συντελεστή εναποθήκευσης  $s$  από  $1 \times 10^{-3}$  έως  $1 \times 10^{-5}$ . Στην περίπτωση των επάλληλων υδροφόρων στρωμάτων οι τιμές των υδραυλικών παραμέτρων που λαμβάνουμε από τις δοκιμαστικές αντλήσεις είναι οι μέσες τιμές του συγχρεόμενου τμήματος του υδροφόρου συστήματος και όχι οι ιδιαίτερες εκείνες τιμές που χαρακτηρίζουν το κάθε υδροφόρο στρώμα.

**Πίνακας 2. Τιμές των υδραυλικών παραμέτρων  $T$  και  $s$  του τεταρτογενούς υδροφόρεα της λεκάνης Δράμας όπως υπολογίστηκαν με τη χρήση τριών προγραμμάτων H/Y.**

**Table 2. Values of hydraulic parameters  $T$  and  $s$  in the Drama quaternary aquifer system, estimated by using three different computer programs.**

| A/Γ  | T <sub>Jacob</sub> | T <sub>Theis</sub> | T <sub>Theis-Fit</sub> | S <sub>Jacob</sub>   | S <sub>Theis</sub>   | S <sub>Theis-Fit</sub> | Q (m <sup>3</sup> /day) | t (min) | r (m) |
|------|--------------------|--------------------|------------------------|----------------------|----------------------|------------------------|-------------------------|---------|-------|
| Π1α  | 251                |                    | 950                    | $1.4 \times 10^{-2}$ |                      | $7.5 \times 10^{-3}$   | 1584                    | 3360    | 25.0  |
| Π1β  | 251                |                    | 259                    | $2.0 \times 10^{-3}$ |                      | $1.4 \times 10^{-2}$   | 1584                    | 3360    | 43.0  |
| Π2α  | 138                |                    | 156                    | $2.4 \times 10^{-3}$ |                      | $2.0 \times 10^{-3}$   | 1560                    | 3420    | 25.0  |
| Π2β  | 311                |                    | 216                    | $4.3 \times 10^{-3}$ |                      | $2.8 \times 10^{-4}$   | 1560                    | 3420    | 37.5  |
| Π5α  | 415                |                    | 328                    | $3.0 \times 10^{-3}$ |                      | $2.2 \times 10^{-1}$   | 4608                    | 2400    | 18.0  |
| Π5β  | 467                |                    | 337                    | $2.9 \times 10^{-1}$ |                      | $3.9 \times 10^{-1}$   | 4608                    | 2400    | 25.0  |
| Π10α | 190                | 173                | 320                    | $7.3 \times 10^{-3}$ | $1.3 \times 10^{-3}$ |                        | 1008                    | 2760    | 11.0  |
| Π10β | 130                | 173                | 117                    | $1.1 \times 10^{-3}$ | $2.7 \times 10^{-3}$ | $1.2 \times 10^{-3}$   | 1008                    | 2760    | 23.0  |
| Π11α | 449                |                    | 311                    | $5.6 \times 10^{-3}$ |                      | $1.3 \times 10^{-2}$   | 696                     | 3120    | 25.0  |
| Π11γ | 181                |                    |                        | $6.1 \times 10^{-4}$ |                      |                        | 696                     | 3120    | 60.7  |
| Π12α | 216                | 199                | 173                    | $1.1 \times 10^{-2}$ | $1.5 \times 10^{-2}$ | $1.7 \times 10^{-2}$   | 1560                    | 3000    | 43.4  |
| Π14α | 138                | 216                | 199                    | $1.6 \times 10^{-3}$ | $8.9 \times 10^{-4}$ | $1.2 \times 10^{-3}$   | 1440                    | 4440    | 28.0  |
| Π14β | 251                | 233                | 156                    | $2.3 \times 10^{-3}$ | $1.1 \times 10^{-3}$ | $1.5 \times 10^{-3}$   | 1440                    | 4440    | 24.3  |
| Π14γ | 173                |                    | 259                    | $3.0 \times 10^{-3}$ |                      | $6.7 \times 10^{-4}$   | 1440                    | 4440    | 73.0  |
| Π15β |                    | 173                | 251                    |                      | $9.6 \times 10^{-3}$ | $6.3 \times 10^{-3}$   | 528                     | 1320    | 24.0  |
| Π15γ | 285                | 173                | 164                    | $6.4 \times 10^{-3}$ | $8.0 \times 10^{-3}$ | $7.4 \times 10^{-3}$   | 528                     | 1320    | 51.8  |
| Π16α | 95                 | 95                 | 95                     | $6.3 \times 10^{-2}$ | $3.3 \times 10^{-3}$ | $4.2 \times 10^{-3}$   | 1224                    | 2100    | 31.06 |
| Π16β | 328                | 259                | 302                    | $3.1 \times 10^{-2}$ | $3.4 \times 10^{-3}$ | $3.4 \times 10^{-2}$   | 1224                    | 2100    | 25.7  |
| Π16γ | 276                | 242                | 259                    | $5.3 \times 10^{-3}$ | $4.3 \times 10^{-3}$ | $5.4 \times 10^{-3}$   | 1224                    | 2100    | 47.4  |
| Π17α | 207                | 458                | 207                    | $1.7 \times 10^{-2}$ | $4.6 \times 10^{-3}$ | $1.5 \times 10^{-2}$   | 1560                    | 4260    | 43.0  |
| Π17β | 458                | 242                | 207                    | $1.6 \times 10^{-2}$ | $7.1 \times 10^{-3}$ | $8.0 \times 10^{-3}$   | 1560                    | 4260    | 32.0  |
| Π17γ | 112                | 104                | 112                    | $2.8 \times 10^{-4}$ | $2.7 \times 10^{-3}$ | $2.3 \times 10^{-4}$   | 1560                    | 4260    | 63.0  |
| Π18α | 752                | 354                | 553                    | $3.0 \times 10^{-2}$ | $8.1 \times 10^{-2}$ | $6.7 \times 10^{-2}$   | 1440                    | 1680    | 32.2  |
| Π18β | 346                | 302                | 233                    | $4.2 \times 10^{-2}$ | $3.5 \times 10^{-2}$ | $3.5 \times 10^{-2}$   | 1440                    | 1680    | 22.0  |
| Π18γ |                    |                    | 760                    |                      | $1.0 \times 10^{-2}$ | $8.7 \times 10^{-3}$   | 1440                    | 1680    | 45.3  |
| Π19α | 95                 | 65                 | 24                     | $2.0 \times 10^{-2}$ | $1.8 \times 10^{-3}$ | $3.0 \times 10^{-3}$   | 576                     | 960     | 33.2  |
| Π19β | 138                | 48                 | 66                     | $6.4 \times 10^{-3}$ | $7.5 \times 10^{-3}$ | $7.9 \times 10^{-3}$   | 576                     | 960     | 28.1  |
| Π19γ | 86                 | 38                 | 32                     | $5.3 \times 10^{-3}$ | $5.5 \times 10^{-3}$ | $5.6 \times 10^{-3}$   | 576                     | 960     | 32.15 |
| Π22δ | 156                | 147                | 173                    | $2.0 \times 10^{-3}$ | $1.1 \times 10^{-3}$ | $2.2 \times 10^{-3}$   | 2040                    | 2736    | 45.98 |
| Π22γ | 156                |                    | 164                    | $1.1 \times 10^{-3}$ |                      | $1.2 \times 10^{-3}$   | 2040                    | 2736    | 44.82 |
| Π22β | 259                | 380                | 501                    | $2.3 \times 10^{-4}$ | $2.0 \times 10^{-3}$ | $1.0 \times 10^{-4}$   | 2040                    | 2736    | 45.62 |
| Π22α | 207                |                    | 432                    | $6.7 \times 10^{-4}$ |                      | $2.0 \times 10^{-3}$   | 2040                    | 2736    | 950.0 |
| Π23α | 86                 | 95                 | 86                     | $1.2 \times 10^{-3}$ | $1.2 \times 10^{-3}$ | $1.3 \times 10^{-3}$   | 996                     | 2730    | 27.0  |
| Π24α | 79                 | 95                 | 82                     | $1.1 \times 10^{-3}$ | $9.4 \times 10^{-4}$ | $2.0 \times 10^{-5}$   | 1560                    | 2820    | 49.3  |
| Π25α | 1123               |                    | 950                    | $1.5 \times 10^{-3}$ |                      | $3.0 \times 10^{-3}$   | 2440                    | 3060    | 52.72 |
| Π25β | 562                |                    | 596                    | $6.5 \times 10^{-4}$ |                      | $2.0 \times 10^{-5}$   | 2440                    | 3060    | 53.42 |

## 5. ΣΥΜΠΕΡΑΣΜΑΤΑ

Οι τιμές των υδραυλικών παραμέτρων στα υδροφόρους συστήματα, στην παράκτια περιοχή του N. Ροδόπης ανάμεσα στις λίμνες Ισμαρίδα και Βιστωνίδα και στη λεκάνη της Δράμας παρουσιάζουν όπως αυτά υπολογίστηκαν με τις τρεις διαφορετικές μεθόδους τα ακόλουθα χαρακτηριστικά:

1. Υδροφόρο σύστημα N. Ροδόπης - Οι τιμές των T και S που βασίζονται μεθόδο του Jacob και στην εξίσωση του Theis σχεδόν ταυτίζονται ή είναι παραπλήσιες. Μια ομιλιαντική διαφοροποίηση παρατηρείται στις τιμές T και S που προέκυψαν από το πρόγραμμα THEISFIT. Οι τιμές του T είναι σινηθήσις μικρότερες απ' ότι στις δύο προηγούμενες περιπτώσεις, ενώ μερικές φορές παρουσιάζεται και μια διαφοροποίηση ως προς την τάξη μεγέθους του S.
2. Υδροφόρο σύστημα λεκάνης της Δράμας: Οι τιμές των T και S που προέκυψαν με τη χρήση των τριών μεθόδων παρουσιάζουν ομιλιαντικότερες αποκλίσεις. Οι μικρότερες αποκλίσεις παρατηρούνται σε γεωτρήσεις οταν ούτις της περιοχής και οι μεγαλύτερες σε γεωτρήσεις του κεντρικού τμήματος της λεκάνης.

Οι διαφορετικές τιμές της μεταβιβαστικότητας T (ινφηλότερες στο N. Ροδόπης) που παρουσιάζουν τα δύο υδροφόρους συστήματα θα πρέπει να αποδοθούν στο περιβάλλον ιζηματογένετρης και πιο συγκεκριμένα: 1. στα χαρακτηριστικά της γεωμετρίας των δύο συστημάτων και στον τύπο της υδροφορίας, 2. στο μέγεθος της διαμέτρου των υλικών και στην κατανομή τους στο χώρο. Στο περιβάλλον του διακλαδίζομενου ποταμού, έχουμε επιχορήση των αιδρύοκοκκων υλικών, ενώ στην πεδιάδα της Δράμας κυριαρχούν οι λεπτόκοκκες φάσεις, 3. στα λιθολογικά πρότυπα και στα πρότυπα των διαφόρων φάσεων που συνθέτουν το διαφορετικό ιζηματογενές περιβάλλον.

Στο υδροφόρο σύστημα του N. Ροδόπης η έντονη ετερογένεια των υλικών σε μικρή κλίμακα δεν επηρεάζει ιδιαίτερα τη διακύμανση των τιμών των υδραυλικών παραμέτρων σε μεγάλη κλίμακα. Στο υδροφόρο σύστημα της Δράμας η ετερογένεια εμφανίζεται σε μεγάλη κλίμακα κινήσις κατά την κατακόρυφο έννοια και επηρεάζει, τόσο την εργατική των διαφόρων μεθόδων που χρησιμοποιούνται για την προσέγγιση των υδραυλικών παραμέτρων όσο και αυτή καθαυτή την απόδοση του υδροφόρου συστήματος (περιορισμένης δυναμικότητας).

Στα χονδρόκοκκα υλικά, όπως στην περιπτώση του N. Ροδόπης, ο υπολογισμός των υδραυλικών παραμέτρων με τη χρήση διαφορετικών μεθόδων, παρουσιάζει ελάχιστες αποκλίσεις στις τιμές, σε αντίθεση με το πεδινό τιμήμα της λεκάνης Δράμας όπου παρατηρούνται ομιλιαντικές αποκλίσεις που σχετίζονται με την παρουσία λεπτομερών υλικών και τη διάταξή τους στο ανάπτυγμα του υδροφορέα. Στην τελευταία περίπτωση διαφαίνεται και η διασκολία εκτίμησης αξιόπιστων τιμών των υδραυλικών παραμέτρων όπου χρησιμοποιήθηκαν κλίμακές μεθόδοι που βασίζονται στη χρήση πρότυπων θεωρητικών καπιτινών. Το διαφορετικό ιζηματογενές περιβάλλον, ακόμη και όταν η πηγή προέλευσης των υλικών είναι κοινή, παίζει καθοριστικό ρόλο στη διεμόρφωση των τιμών των διαφόρων υδραυλικών παραμέτρων. Ο αξιόπιστος υπολογισμός των υδραυλικών παραμέτρων είναι ιδιαίτερα ομιλιαντικός στη σύνταξη των διαφόρων μοντέλων (π.χ. ροής, μεταφοράς ύπαντων ή διαχειριστικών) που προσδομούνται τη συμπεριφορά των υπόγειων υδροφόρων συστημάτων.

## 6. ΒΙΒΛΙΟΓΡΑΦΙΑ

- BOONSTRA, J.,(1994). SATEM: Selected Aquifer Test Evaluation Methods. A microcomputer program, ILRI publication 48, 80 p.
- CLARKE, D., (1988). Groundwater Discharge tests: 2. Simulation and analysis. Elsevier, Amsterdam, Developments in Water Science, Vol. 37, p. 319.
- COOPER, H. H. AND C. E. JACOB, (1946). A generalised graphical method for evaluating formation constants and summarising well history. Am. Geophys. Union Trans., Vol. 27, pp. 526-534.
- DRISCOLL, F. G., (1986). Groundwater and wells. 2nd ed. St. Paul, Johnson Division.
- FREEZE, R. A. AND J. CHERRY (1979). Groundwater. Prentice-Hall Inc. Englewood Cliffs N.J., 604 p.
- HOUSTON, W. N. AND A. G. KASIM, (1982). Physical Properties of Porous Geologic materials In: Recent Trends in Hydrogeology, Geological Society of America, Special Paper 189, ed. T. N. Narasimhan, pp. 143-162.
- ΚΑΛΛΕΡΓΗΣ, Γ., (1986). Εφαρμοσμένη Υδρογεωλογία. 2 Τόμοι. Έκδοση Τ.Ε.Ε., Αθήνα.
- KRUSEMAN, G. P. AND N. A. DE RIDDER,(1992). Analysis and evaluation of pumping test data. Second edition, Publication 47. International Institute for Land Reclamation and Improvement/ILRI, Wageningen, 377 p.
- MCELWEE, C. D.,(1980). The Theis Equation: An evaluation, sensitivity to storage and transmissivity, and automatic fit of pump test data. Kansas Geol. Surv., Univ. of Kansas, USA.
- ΜΕΛΙΔΑΝΗΣ, Ν., (1966). Φιλιππο-Γεωλογική και κοιτασματολογική ποιμελέτη, ΙΓΕΥ, Αθήνα.
- Ψηφιακή Βιβλιοθήκη "Θεόφραστος"-Τμήμα Γεωλογίας, Α.Π.Θ.
- MIAULL ANDREW, D., (1977). A review of the braided-river depositional environment. Earth Science Re-

views, Vol. 13, pp. 1-62.

ΜΠΡΟΥΣΟΥΔΗΣ Ι. Π. ΓΙΑΚΚΟΥΙΗΣ, Ε. ΑΡΑΠΟΓΙΑΝΝΗΣ ΚΑΙ Ι. ΑΝΑΣΤΑΣΙΑΔΗΣ. (1991): "Γεωλογική κοιτασματολογική μελέτη κοιτασμάτος λιγνίτη Δράμας". Ι.Γ.Μ.Ε, 1990.

ΠΑΝΙΑΛΑΣ Σ. ΚΑΙ Γ. ΚΑΛΛΑΕΡΓΗΣ. (1997). Υδρογεωλογικές συνθήκες της πεδιάδας Δράμας. 4<sup>η</sup> Υδρογεωλογικό Συνέδριο, Θεο/νίζη 1997, σελ. 376 - 392.

ΠΑΝΙΑΛΑΣ Σ. ΚΑΙ Γ. ΚΑΛΛΑΕΡΓΗΣ. (1997). Διερεύνηση των υδρογεωλογικών συνθηκών και της υδροχημείας των υπόγειων νερών στο λιγνιτικό πεδίο της Δράμας. 4<sup>η</sup> Υδρογεωλογικό Συνέδριο, Θεο/νίζη, 1997 σελ. 393 - 407.

ΠΑΝΙΑΛΑΣ, Σ., (1998). Υδρογεωλογικά προβλήματα κατά την εξμετάλλευση λιγνιτικών κοιτασμάτων με τη μέθοδο της ανοικτής εκσκαφής. Η περίπτωση του λιγνιτικού κοιτασμάτος Δράμας. Διδακτορική Διατριβή Πανεπιστημίου Ηπειρού. Τμήμα Γεωλογίας.

ΠΕΤΑΛΑΣ, Χ. ΚΑΙ Ι. ΔΙΑΜΑΝΤΗΣ. (1994). Υδρογεωλογική διερεύνηση του υδροφόρου μοντήματος των νεογενών αποθέσεων αναπολικού τμήματος λεσάνης Ξάνθης-Κομοτηνής. Πρακτικά 2<sup>ου</sup> Υδρογεωλογικού Συνεδρίου της Ελληνικής Επιτροπής Υδρογεωλογίας, σελ. 403-418.

ΠΕΤΑΛΑΣ, Χ., (1997). Ανάλυση υδροφόρων μοντημάτων στο ετερογενές και παράξτιο πεδίο Ν. Ροδόπης. Διδακτορική Διατριβή Δημιουργίειου Πανεπιστημίου Θράκης-Τμήμα Πολιτικών Μηχανικών, Ξάνθη 288 σελ..

PICARD, M.D. AND L.R. HIGH, JR., 1981. Physical stratigraphy of ancient lacustrine deposits. In 'Recent and ancient nonmarine depositional environments: Models for exploration' SEPM Special Publication No. 31, eds. F.G. Ethridge and R.M. Flores, pp. 233-259.

ΣΤΑΜΑΤΑΚΗΣ, Γ. Ι. ΔΙΑΜΑΝΤΗΣ ΚΑΙ Χ. ΠΕΤΑΛΑΣ (1992). Υπολογισμός εμπειρικής σχέσης για την επτίτηση της μεταφορικότητας (T) σ' ένα εκτεταμένο λοφώδες ετερογενές πεδίο - επιβεβαίωση της ετερογένειας. Πρακτικά 5<sup>ου</sup> Πανελλήνιου Συνεδρίου Ελληνικής Υδροτεχνικής Ένωσης, Λάρισα, Νοέμβριος 1992, σελ. 251-258.

THEIS, C. V., (1935). The relation between the lowering of the piezometric surface and the rate and duration of discharge of a well groundwater storage. Am. Geophys. Union Trans., Vol. 16, pp. 519-524.

VISHER, G.S., 1965. Use of vertical profile in environmental reconstruction: Amer. Assoc. Petroleum Geologists Bull., Vol. 49, pp. 41-61.